

# MELEZ (HYBRİD) YÖNTEM İLE İKİ BOYUTLU AKUSTİK DALGA ALANI HESABI VE TEKRARLI YANSIMALARı İÇEREN DALGA ALANI HESABI DENEMELERİ

2-D Wave Field Calculation By Hybrid Method and Experiments on Calculating Wave Fields with Multiple Reflections.

Selma KADIOĞLU (COŞKUN)\* , Turan KAYIRAN\*

## ÖZET

Melez Yöntem analitik ve sayısal yöntemlerin birleşimidir. Yöntem, dalga saçılımı ve dalga yayılımı ayrimına ve herbir işlemi uygun yöntemlerle tanımlama esasına dayanır. Aynı modelin herbir yöntem ile dalga alanları elde edilmiş ve sonuçlar karşılaştırılarak Melez Yöntemin duyarlılığı gösterilmiştir.

Yapılan çalışmalar; analitik yöntemlerden Değiştirilmiş İşin Yöntemi (MRS) ile dalga alanı hesabında, uygun Green fonksiyonunun üretimi ile tekrarlı yansımaları içeren dalga alanının hesaplanmasıının mümkün olduğunu göstermiştir. Ayrıca, MRS ile tekrarlı yansımaları içeren dalga alanları hesaplanmıştır.

## ABSTRACT

Hybrid method is a combination of analytical and numerical methods. the method is based upon the separation of wave propagation and scattering and upon the description of each process by the most suitable method. It has been shown that the stability of method is more effective by the results obtained by applying the each method to the same model and comparing the study results of the Hybrid Method.

Studies dealing with the wave field computation with the Modified Ray Scheme (MRS) from analytical methods, provide means for wave-field computations including multiple reflections with the use of appropriate Green functions. Additionally, using MRS, waves have been computed including multiple reflections.

## GİRİŞ

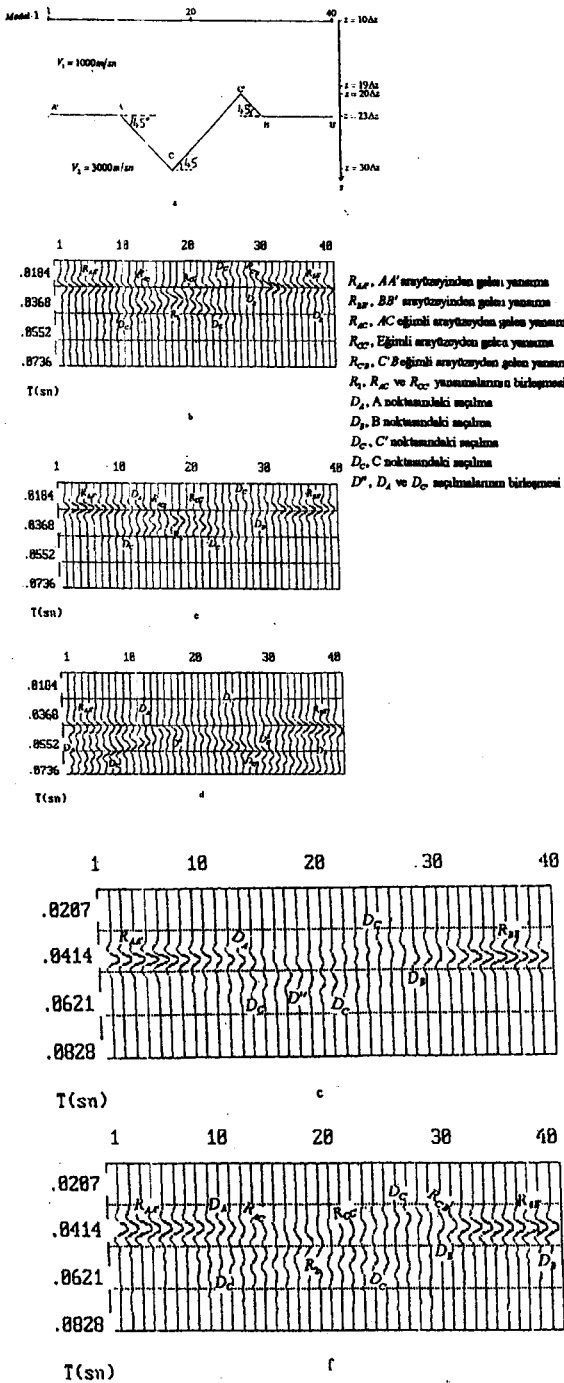
İki boyutlu heterojen ortamlarda dalga alanı hesaplama yöntemleri genel olarak analitik ve sayısal olmak üzere iki grupta sınıflandırılabilir. İlk grup analitik yöntemlerdir. Düzgün arayüzeyli ve zayıf heterojen bölgelerde oldukça duyarlıdır. İkinci grup ise sayısal yöntemlerdir. Sayısal yöntemler kuvvetli heterojen bölgelerde analitik yöntemlere oranla çok daha fazla duyarlıdır. Dalga alanı hesaplanırken modele uygun bir yöntem seçilmelidir. Ancak her zaman modele uygun bir yöntem bulunamamaktadır. Bu durumlar için yöntemlerin en etkin olduğu bölgelerde uygulanması ile birden fazla çözüm yöntemini içeren "Melez (Hybrid) Yöntem" geliştirilmiştir. Bu yöntemin ana özelliği dalga alanı hesaplama işleminin iki ayrı işleme bölünerek elde edilmesidir.

*1- Seçilen modele arayüzeyin hemen üzerinde kararlaştırılan  $z = Z$  gibi yatay bir düzlem boyunca ikincil dalga alanının elde edilişi:* Bu işlem sayısal yöntemlerden Sonlu Farklar Yöntemi (Finite Difference Method = FDM) ile tanımlanmaktadır. Giriş olarak arayüzey üzerindeki kaynak alanın değerleri kullanılır. Sonuç olarak  $z = Z$  düzlemi boyunca ikincil dalga alanı ve bu alanın normal türev değerleri elde edilir. İkincil dalga alanı, kaynak alan hariç sadece arayüzeyin etkisiyle oluşan alandır.

*2- Yüzeye ikincil dalga alanını elde edilişi:* Bu işlemde analitik yöntemlerden, Kirchoff integralinin asimtotik çözümüne dayanan Değiştirilmiş İşin Yöntemi (Modified Ray Scheme = MRS) ile tanımlanmaktadır. Giriş olarak  $z = Z$  yatay düzlemi boyunca FDM'den elde edilen dalga alanının normal türev değerleri kullanılır. Sonuç olarak  $z < Z$  bölgesinde istenilen bir düzlemede ikincil dalga alanı değerleri elde edilir.

Bilindiği gibi sismik dalganın herhangi bir arayüzey üzerinde birden fazla yansımaya meydana getirdiği olaylara "tekrarlı yansımalar" adı verilmektedir. Tekrarlı yansımalar birer yansıtıcı yüzeyden gelen yansımalar gibi algılanabilirler. Bunların ortadan kalkması veya zayıflatılması çalışmalarının başarılı bir şekilde yapılabilmesi için öncelikle sismik kesitte tanınması gerekmektedir. Bu amaçla çeşitli modeller için hesaplanan dalga alanlarının istenilen türden tekrarlı yansımaları da içermesi oldukça önemlidir. Ancak günümüzde kadar tekrarlı yansımaları içeren dalga alanı hesaplanması üzerinde durulmuştur. Yaptığımız çalışma; analitik yöntemlerden MRS ile dalga alanı hesabında, uygun Green fonksiyonunun üretimi ile tekrarlı yansımaları içeren dalga alanının hesaplanmasıının mümkün olduğunu göstermiştir.

\* Ankara Üniversitesi Fen Fakültesi Jeofizik Mühendisliği Bölümü, Beşevler, 06100 ANKARA



**Şekil 1:** (a) Model 1.  $\Delta x=2\text{m}$ ,  $\Delta z=2\text{m}$ ,  $\Delta t=0.00046\text{sn}$ . (b)  $z=19\Delta z$  düzleminde FDM ile hesaplanan dalga alanı. (c)  $z=19\Delta z$  düzleminde MRS ile hesaplanan dalga alanı. (d)  $z=10\Delta z$  düzleminde FDM ile hesaplanan dalga alanı. (e)  $z=10\Delta z$  düzleminde MRS ile hesaplanan dalga alanı. (f)  $z=10\Delta z$  düzleminde Melez Yöntem ile hesaplanan dalga alanı.

**Figure 1:** (a) Model 1.  $\Delta x=2\text{m}$ ,  $\Delta z=2\text{m}$ ,  $\Delta t=0.00046\text{sn}$ . (b) Computation of wave field with the FDM on the plane of  $z=19\Delta z$ . (c) Computation of wave field with the MRS on the plane of  $z=19\Delta z$ . (d) Computation of wave field with the FDM on the plane of  $z=10\Delta z$ . (e) Computation of wave field with the MRS on the plane of  $z=10\Delta z$ . (f) Computation of wave field with the Hybrid Method on the plane of  $z=10\Delta z$ .

### MELEZ YÖNTEM İLE AKUSTİK DALGA ALANI HESABI

$x$  ve  $z$  yatay ve düşey eksenler ve  $z$  ekseni aşağıya doğru pozitif olmak üzere iki boyutlu model  $z \leq Z$  için homojen,  $z > Z$  için heterojendir.  $z > Z$  bölgesinde bir basınç dalgası ( $P$  dalgası) hareketi

$$\frac{\partial^2 u}{\partial x^2} + \frac{\partial^2 u}{\partial z^2} = \frac{1}{v^2} \frac{\partial^2 u}{\partial t^2} - f \quad (1)$$

diferansiyel denklemi ile verilmektedir.  $v=v(x,z)$  dalganın yayılma hızı,  $u=u(x,z,t)$  dalganın yerdeğiştirme vektörü,  $f=f(x,z,t)$  kaynak fonksiyonudur.  $m,n$  sırasıyla  $x$  ve  $z$ 'ye göre uzay gridlerini tanımlamak üzere (1) denklemi FDM'e göre şu şekilde yazılabilir (Boore 1972, Shtivelman 1984).

$$u_{m,n,k+1} = P_{m,n}^2 (u_{m+1,n,k} + u_{m-1,n,k} + u_{m,n+1,k} + u_{m,n-1,k}) + 2(1 - 2P_{m,n}^2)u_{m,n,k} - u_{m,n,k-1} \quad (2)$$

Burada  $\Delta x=\Delta z$  ve  $P_{m,n}=V_{m,n} \Delta t/\Delta x$  dir.  $\Delta x \neq \Delta z$  durumu Mufti (1985) ve Coşkun (1994) tarafından incelenmiştir. Dalga denkleminde görünen ikinci dereceden türevler sonlu fark operatörlerinden ikinci merkezciil fark operatörü kullanarak elde edilmektedir. (2) ifadesinden görüldüğü gibi hesaplamaya başlamak için  $t=0$  ve  $t=-\Delta t$  zamanlarındaki değerlerin tanımlanması gerekmektedir.  $t=-\Delta t$ 'de dalga alanın sıfır olduğu bilinmektedir.  $t=0$ 'daki dalga alanı değerleri için bütün  $m,n$  noktalarında kaynak alanın ilk değerinin verilmesi yeterlidir. Yine fiziksel anlamda sayısal hesaplama bu algoritmanın karalı olmasını gerektirmektedir. Burada da alford ve dig. (1974)'nın kullandığı kararlılık şartı kullanılmıştır. Ayrıca sınırlı üç yansımaları önlemek için "transparent sınır şartı" (Reynolds 1978) oldukça etkilidir. Buradaki amaca göre arayüzeyin hemen üzerindeki  $z=Z$  düzlemini üzerinde dalga alanının türevinin hesaplanması gerekmektedir. Bu merkezciil fark operatörü kullanılarak elde edilir.

$$\frac{\partial u_{m,Z,k}}{\partial z} \equiv \frac{u_{m,Z+1,k} - u_{m,Z-1,k}}{2\Delta x} \quad (3)$$

Bundan sonraki adım MRS ile dalga alanının  $z < Z$  bölgesindeki istenilen bir düzleme indirgenmesidir. Bunun için Helmholtz denkleminden yola çıkarak, 2. Green teoreminin iki boyutlu ifadesinden yararlanarak, iki boyutlu durumda "Kirchoff İntegrali" elde edilir. Bu ifade

$$U(x_0, z_0, w) = \int_{z(Z)} GF ds - \int_{z(Z)} \left[ U \frac{\partial G}{\partial Z} - G \frac{\partial U}{\partial Z} \right] dX \quad (4)$$

ile verilir (Berkhout 1980). Sağdaki ilk integral kaynak alan spektrumdur.  $U$  ve  $G$ ,  $z=Z$  düzlemini boyunca sırasıyla dalga sırasıyla dalga alanı spektrumu ve Green

fonksiyonu değerlerini,  $\partial/\partial Z$  ise  $z=Z$  düzlemindeki normal türevi ifade etmektedir. Yine  $z=Z$  de  $x=X$  olarak ifade edilir. 2. Green teoremine göre  $U$  ve  $G$  skaler fonksiyonlarından biri seçilebilir durumdadır (Yaramancı 1986). Buna göre  $U$  nun çözümü için istenilen sınır şartını sağlayan Green fonksiyonlarından biri kullanılabilir. Her ikisinin çözümü de Helmholtz denklemi çözümlüdür. Amaca göre birinin çözümü ile sonuca ulaşılabilir (Shtivelman 1984, Coşkun 1994). Burada  $z=Z$  deki normal türev değerleri kullanılacağı için sadece katı yüzey Green fonksiyonu kullanılarak hesaplanan dalga alanı spektrumunun çözümü ele alınacaktır. Bu spektrumun zaman ortamındaki ifadesi

$$u^{(+)} = \phi' + 2u_R \quad (5)$$

ile verilir.  $\phi'$  kaynağın zaman ortamında ayna imaj alanıdır. Ancak burada ihmäl edilecektir. Ayrıca

$$u_R = \frac{1}{2\pi} \int_{-\infty}^{\infty} \left( \frac{\partial u_s}{\partial Z} * g_R \right) dX \quad (6)$$

ile ifade edilir. (6) integraline "Kati Yüzey İntegrali (RSI)" denmektedir. Burada  $\partial u_s / \partial Z$ ,  $z=Z$  düzlemi üzerinde dalga alanı türev değerleridir. RSI için  $z=Z$  katı yüzeyi üzerinde  $u_s=0$ 'dır. Bu ifadedeki  $g_R$  zaman ortamındaki katı yüzey Green fonksiyonudur (Shtivelman 1984, Coşkun 1994).

$u_R$  integralinin sayısal olarak hesaplanabilmesi için önemli bir husus integrasyon sınırlarının tanımlanması gerekliliğidir. Bu değerler zaman ile doğrudan ilişkilidir. Bunun için  $z=Z$  düzleminden  $z < Z$  bölgesindeki herhangi bir  $(x, z)$  noktasına dalga alanının ilk geliş zamanı  $t_0$  ile, maksimum kayıt zamanı  $T_{max}$  ile ve  $[x - \Delta X, x + \Delta X]$  integrasyon bölgesi olarak tanımlandığında  $X=x+\Delta X$  deki kaydetme zamanının  $t_0+T_{max}$  aşmaması gerekmektedir. Yani burada  $\Delta X$  değeri  $T_{max}$  değerine bağlıdır.

Ayrıca  $T_{max}$  değeri

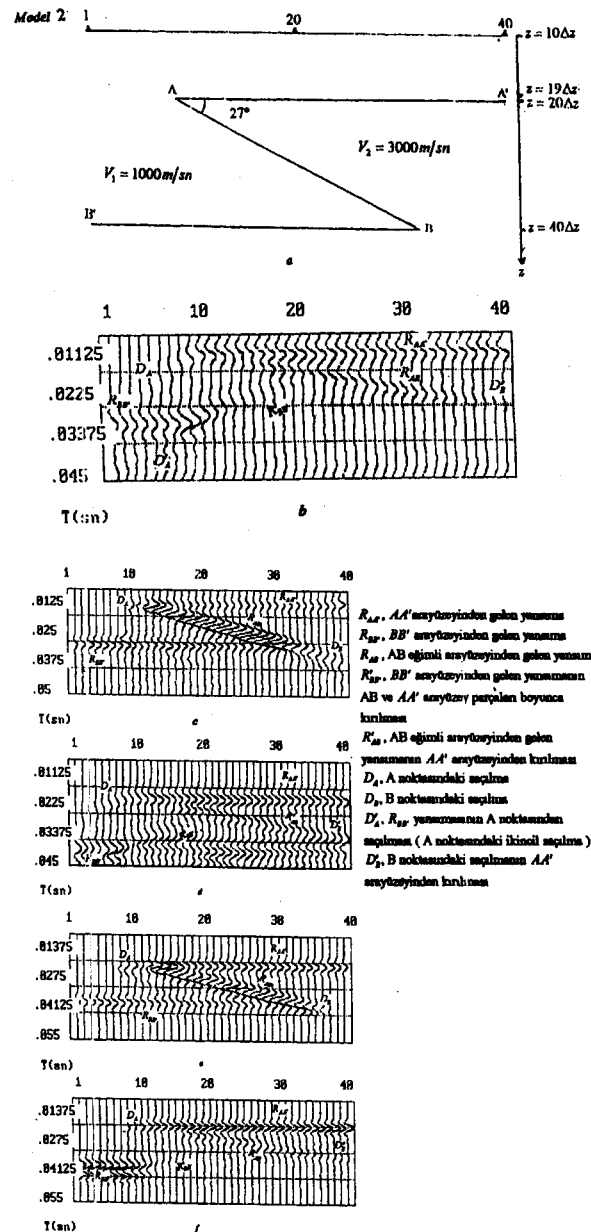
$$T_{max} << 2t_0 \quad (7)$$

olarak seçildiğinde kısa boylu veya asimtotik çözüm elde edilmektedir. Bu çözüm "Değiştirilmiş İşin Metodu (MRS)" olarak adlandırılmaktadır (Shtivelman 1984, 1985).

$u_R$ 'nin hesaplanmasıında  $z=Z$  düzlemi boyunca her  $x$  noktası için konvolüsyonun hesaplanması gereğinden bunun yerine önce  $x$ 'e göre integralin hesaplanması sonra konvolüsyon işleminin yapılması, işlemleri biraz daha basitleştirmektedir. Buna göre

$$w_R = \int_{x-\Delta X}^{x+\Delta X} \frac{1}{\sqrt{2t}} \frac{\partial u_s(T-T_r)}{\partial} dX \quad (8)$$

olur.



Şekil 2:(a) Model 2.  $\Delta x=2m$ ,  $\Delta z=2m$ ,  $\Delta t=0.00025sn$ . (b)  $z=19\Delta z$  düzleminde FDM ile hesaplanan dalga alanı. (c)  $z=19\Delta z$  düzleminde MRS ile hesaplanan dalga alanı. (d)  $z=10\Delta z$  düzleminde FDM ile hesaplanan dalga alanı. (e)  $z=10\Delta z$  düzleminde MRS ile hesaplanan dalga alanı. (f)  $z=10\Delta z$  düzleminde Melez Yöntem ile hesaplanan dalga alanı.

Figure 2:(a) Model 2.  $\Delta x=2m$ ,  $\Delta z=2m$ ,  $\Delta t=0.00025sn$ . (b) Computation of wave field with the FDM on the plane of  $z=19\Delta z$ . (c) Computation of wave field with the MRS on the plane of  $z=19\Delta z$ . (d) Computation of wave field with the FDM on the plane of  $z=10\Delta z$ . (e) Computation of wave field with the MRS on the plane of  $z=10\Delta z$ . (f) Computation of wave field with the Hybrid Method on the plane of  $z=10\Delta z$ .

Burada  $T = t - t_0$ ,  $T_R = t, -t_0$  ve  $t, z = Z$  düzleminde  $z < Z$  bölgesindeki dalga alanının hesaplanacağı herhangi bir  $(x, z)$  noktasına varış zamanıdır. Yani  $T$  kayıt zamanı,  $T_r$  de gecikme zamanıdır. Bu duruma göre  $u_R$  yeniden şu şekilde tanımlanabilir (Shtivelman 1984, Coşkun 1994).

$$u_R \cong \frac{1}{2\pi} \int_{-\infty}^{T_{\max}} w_R(T-\tau) \frac{d\tau}{\sqrt{\tau}} \quad (9)$$

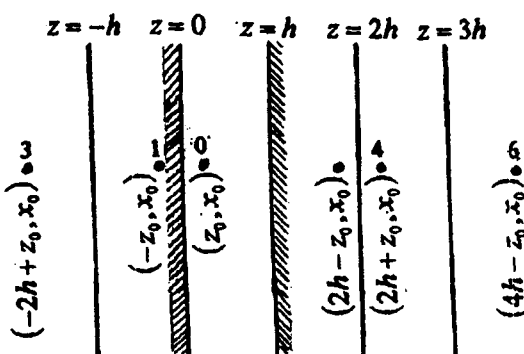
$\tau$  konvolüsyon işlemi için zamanda kayma miktarıdır.

Sonuç olarak  $z=Z$  düzlemini boyunca  $\partial u_s / \partial Z$  değerlerinin bilinmesi durumunda  $z < Z$  bölgesinde ikincil dalga alanı, (9) ifadesi ile verilen, sinyalin asimtotik şeklini tanımlayan konvolüsyon integrali kullanılarak  $u_R$  hesaplandıktan sonra sonuç (5) ifadesine konularak bulunur.

### TEKRARLI YANSIMALAR İÇİN GREEN FONKSİYONLARI SERİLERİ

Aynalama yöntemi Green fonksiyonunu ağırlandırmaktadır. Birinci aynalama işlemi sınır şartlarına bağlı olarak Green fonksiyonlarının elde edilmesini sağlamaktadır (Yaramancı 1986). Morse ve Feshbach (1953)'in Green fonksiyonları ile ilgili açıklamalarından yararlanarak yaptığımız çalışmamızda ikinci aynalama ile 1. tekrarın elde edildiği ve bu işlemin tekrarlanması ile Green fonksiyonlarının seri ifadeleri elde edilecek kadar tekrarlı yansımının elde edilebileceği görülmüştür. Bu daha açık olarak şu şekilde ifade edilebilir (Şekil 3).

8



Şekil 3: Kaynak İmajları dizisi.

Figure 3: Sequence of images of source

Yöntem imaj yönünde  $z=0$  ve  $z=h$  sınırları ihmal ederek uygulanır. Buna göre  $z=h$  sınırı ihmal edilerek  $z = -z_0$ 'da bir imaj elde edilir. Sonra  $z=0$  sınırı ihmal edilerek  $z = 2h - z_0$ 'da bir imaj elde edilir (Şekil 3.). 1 ve 0 birlikte  $z=0$ 'da Neumann veya Dirichlet sınır şartını sağlamak-

tadırlar. Ancak 2 imajının da sınır şartlarına göre dengelenmesi gerekmektir. 2'yi dengelemek için  $z=0$ 'a göre 2'nin imajı olan 3,  $(x_0, z_0 - 2h)$ 'da bulunur. Benzer şekilde  $z=h$ 'a göre 1'in etkisini dengelemek için  $z=2h + z_0$ 'da 4 imajı eklenir. Şimdi de  $z=h$ 'da 3'ün etkisini dengelemek gerekmektedir. Bunun için ise  $(x_0, 4h - z_0)$ 'da 6 imajını eklemek gerekmektedir. Bu işlem sayısını kontrol ederek sonsuza kadar devam eder. Böylece bir kaynaktan başlamış herhangi bir işin için sonsuz yansıtma sayısı vardır. Herbir imaj bu yansılardan birine uyar.

Burada kaynaklar  $(x_0, z_0 + 2nh)$  noktalarında ve  $(x_0, 2nh - z_0)$  noktalarında bulunmaktadır. Yine burada  $n$  bir tamsayıdır. Buna göre uygun Green fonksiyonları serileri oluşturulabilir. Dirichlet sınır şartını sağlayan katı yüzey Green fonksiyonu serisi

$$G = -\frac{i}{4} \sum_{n=-\infty}^{\infty} \left\{ H_0^2 \left[ k \sqrt{(x-x_0)^2 + (z-z_0-2nh)^2} \right] + H_0^2 \left[ k \sqrt{(x-x_0)^2 + (z+z_0-2nh)^2} \right] \right\} \quad (10)$$

ile verilir. Burada  $H_0^2$  sıfırıncı dereceden ikinci tip Hankel fonksiyonudur. Benzer şekilde Neumann sınır şartını sağlayan serbest yüzey Green fonksiyonu serisi de

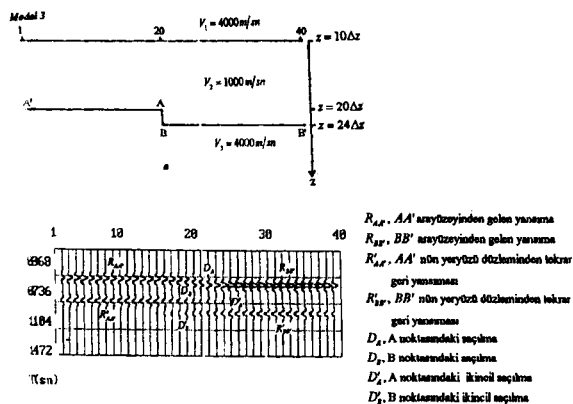
$$G = -\frac{i}{4} \sum_{n=-\infty}^{\infty} \left\{ H_0^2 \left[ k \sqrt{(x-x_0)^2 + (z-z_0-2nh)^2} \right] - H_0^2 \left[ k \sqrt{(x-x_0)^2 + (z+z_0-2nh)^2} \right] \right\} \quad (11)$$

ile verilir (Morse ve Feshbach, 1953). Örneğin bir tekrarlı yansıtma içeren Dirichlet sınır şartını sağlayan Green fonksiyonu şu şekilde ifade edilir.

$$G = -\frac{i}{4} \sum_{n=-\infty}^{\infty} \left\{ H_0^2 \left[ k \sqrt{(x-x_0)^2 + (z-z_0)^2} \right] + H_0^2 \left[ k \sqrt{(x-x_0)^2 + (z+z_0)^2} \right] + H_0^2 \left[ k \sqrt{(x-x_0)^2 + (z-z_0+2h)^2} \right] + H_0^2 \left[ k \sqrt{(x-x_0)^2 + (z+z_0-2h)^2} \right] \right\} \quad (12)$$

Bu şekilde istenilen sayıda tekrarlı yansımaları içeren Green fonksiyonları üretilebilir. Ancak seri ifadeler hızlı bir yaklaşım olmadığından fazla tekrar sayısı için elverişsizdir. tekrar sayısı çok fazla istendiğinde  $|n| \rightarrow \infty$  giderken Hankel fonksiyonunun asimtotik ifadesinin kullanılabileceği Morse ve Feshbach (1953) tarafından belirtilmiştir. Sonuç olarak (10) veya (11) ifadelerinden biri (4) ifadesinde yerine koymalarak istenilen sayıda tek-

rarlı yansımaları içeren dalga alanı spektrumu elde edilir.



**Şekil 4: (a) Model 3.  $\Delta x=2m$ ,  $\Delta z=2m$ ,  $\Delta t=0.00046$  sn. (b)  $z=5\Delta z$  düzleminde MRS ile hesaplanan bir tekrarlı yansımaya içeren dalga alanı.**

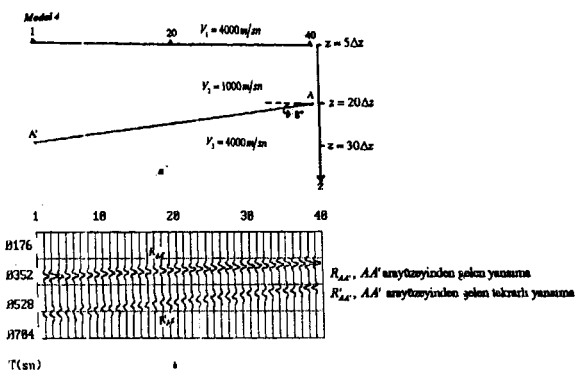
**Figure 4: (a) Model 3.  $\Delta x=2m$ ,  $\Delta z=2m$ ,  $\Delta t=0.00046$  sn. (b) Computation of wave field including a multiple reflection with the MRS on the plane of  $z=5\Delta z$ .**

## UYGULAMALAR

Öncelikle jeolojik model grid aralıklarına göre ayrılaştırılmış olarak tanımlanmalıdır. Sonra kaynak ve kaynak alanın tanımlanması gereklidir. burada  $t=0$  zamanında dalgaların cephesi arayüzey ile eşleşen düzey yayılan bir düzlem dalga kullanılmıştır. hesaplamaya başlamak için gerekli olan kaynak alan ise;

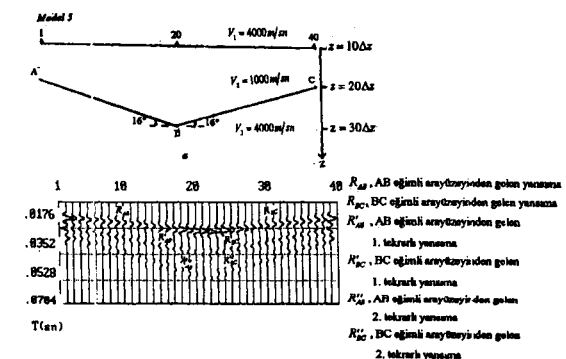
$$u_{m,n,k}^{(0)} = R\phi(t - t_r) \quad (13)$$

ile tanımlanmaktadır.  $\phi$  kaynak fonksiyonu,  $t_r$  kaynak dalgacığının, verildiği noktadan kaynak alanının hesaplanacağı noktaya varış zamanıdır. Bu zaman uygun işin yolu boyunca hesaplanabilmektedir. R ise yansımaya katısayısıdır. Kaynak olarak 50 Hz'lik Ricker dalgacığı kullanılmıştır.



**Şekil 5: (a) Model 4.  $\Delta x=2m$ ,  $\Delta z=1m$ ,  $\Delta t=0.00022$  sn. (b) Computation of wave field including a multiple reflection with the MRS on the plane of  $z=5\Delta z$ .**

**Figure 5: (a) Model 4.  $\Delta x=2m$ ,  $\Delta z=1m$ ,  $\Delta t=0.00022$  sn. (b) Computation of wave field including a multiple reflection with the MRS on the plane of  $z=5\Delta z$ .**



**Şekil 6: (a) Model 5.  $\Delta x=2m$ ,  $\Delta z=1m$ ,  $\Delta t=0.00022$  sn. (b) Computation of wave field including double multiple reflection with the MRS on the plane of  $z=10\Delta z$ .**

## SONUÇLAR

İlk iki model için eğimli yüzeylerden gelen yansımalar FDM kesitlerinde net bir şekilde görülmektedir. Buna karşılık MRS kesitlerinde eğimli yüzeylere ait üç noktalardaki saçılımlar daha etkin olarak görülmekte, yansımalar zayıf olarak izlenebilmekte ve kesitlerde bu bölgelerdeki sürekli saçılma dalgalarıyla sağlanmaktadır. Süreksizlik yüzeyinden oldukça yukarıdaki bir düzlemede FDM, MRS ve Melez Yöntem ile hesaplanan dalga alanı kesitlerinde ise ; FDM kesitlerinde dispersiyon olayının etkisinden dolayı dalgacık genişlemekte; FDM kesitlerinde dispersiyon olayının etkisinden dolayı dalgacık genişlemekte bu da kesitleri oldukça bozmaktadır. Eğimli yüzeylerden gelen yansımalar Melez Yöntemi kesitlerinde MRS kesitlerindeki gibi çok daha net olarak görülebilmekte, yine FDM'un tam dalga alanını verdiği, buna karşılık MRS'in sadece arayüzey-

### Kadioğlu ve Kayıran

lerden gelen yansımaları ve saçılımaları verdiği, ayrıca hızı sabit kabul ettiği için çok karmaşık arayüzeyli modellerde yanlış dalga alanı hesapladığı özellikle model2'de açık bir şekilde görülmektedir. Melez Yöntem de FDM'u kullandığından tam dalga alanını vermektedir. Ayrıca bu yöntem hesaplama zamanını bölgerek işlem yapma imkanı da sağlamaktadır.

Yine yaptığımız çalışma sonucunda; Green fonksiyonlarının seri ifadeleri tekrarlı yansımaların üretilebileceği görülmektedir. Tekrarlı yansımaların tanınması ve ortadan kaldırılması işleminde, tekrarlı yansımaları içeren dalga alanlarından yararlanılması ile daha duyarlı sonuçların ele edilebileceğini oldukça önemlidir.

#### KAYNAKLAR

- ALFORD, R.M., KELLEY, K.R. and BOORE, D.M. 1974.** Accuracy of finite difference modeling of acoustic wave equation. *Geophysics*, 39, 6, 834-842.
- BERKHOUT, A.J. 1980.** Seismic migration. Elsevier Science Publishing Co., Amsterdam, Oxford, 109-165, New, York.

- BOORE, D.M. 1972.** Finite difference methods for seismic wave propagation in heterogenous materials in *Methods in Computational Physics*, New York Academic Press, 2, 21-22, New York.
- COSKUN, S. 1994a.** Hybrid (Melez) Yöntem ile Akustik Dalga Alanı Hesabı. Türkiye 10. Petrol Kongresi ve Sergisi Bildiri Kitapçığı, 25-39, Ankara.
- COŞKUN, S. 1994b.** Dalga Alanı Hesaplama Yöntemleri (Yüksek Lisans Tezi, yayınlanmamış), Ankara Üniversitesi Fen Bilimleri Enstitüsü, Ankara.
- KUHN, M.J. and ALHILALI, K.A. 1977.** Weighting factors in the construction and reconstruction of acoustic wave fields. *Geophysics*, 42, 6, 1183-1198.
- MORSE, P.M. and FESHBACK, H. 1953.** Methods of Therotical Physics. Part 1. McGraw-Hill Company, Inc., 812-814, New-York.
- MUFTI, I.R. 1985.** Seismic modelling in the implicit mode. *Geophysics Prospecting*, 33, 619-656.
- REYNOLDS, A.C. 1978.** Boundary conditions for the numerical solution of wave propagation problems. *Geophysics*, 43, 1099-1110.
- SHTIVELMAN, V. 1984.** A hybrid method for wave field computation. *Geophysics Prospecting*, 32, 236-257.
- SHTIVELMAN, V. 1985.** Two dimensional acoustic modeling by a hybrid method. *Geophysics*, 50, 8, 1273-1284.
- YARAMANCI, U. 1986.** Jeofizikte Potansiyel Teori. 1.T.Ü. Maden Fakültesi Yayıncı, 24-85, İstanbul.